



## مقایسه روش‌های مختلف تبخیر و تعرق پتانسیل و بررسی تغییرات زمانی- مکانی آن در حوزه آبخیز مهارلو، استان فارس با استفاده از GIS

مهدیس امیری<sup>۱</sup> و حمیدرضا پورقاسمی<sup>۲</sup>

۱- دانشجویی کارشناسی ارشد مدیریت مناطق بیابانی، دانشکده کشاورزی، دانشگاه شیراز

۲- استادیار بخش مهندسی منابع طبیعی و محیط زیست، دانشکده کشاورزی، دانشگاه شیراز (نویسنده مسؤول: (hr.pourghasemi@shirazu.ac.ir

تاریخ دریافت: ۹۶/۵/۱ تاریخ پذیرش: ۹۶/۵/۴

صفحه ۲۲ تا ۲۵

### چکیده

برآورد تبخیر و تعرق پتانسیل نقش مهمی در برنامه‌ریزی، طراحی و مدیریت منابع آب، بهویژه در مناطق خشک و نیمه‌خشک دارد. هدف از تحقیق حاضر، بررسی زمانی روش‌های مختلف محاسبه تبخیر و تعرق پتانسیل شامل تورنتوايت، بلانی-کریدل و هارگریوز-سامانی و بررسی تغییرات مکانی آن در حوزه آبخیز مهارلو در استان فارس می‌باشد. بدین منظور از آمار سالانه درجه حرارت در یک دوره آماری ۱۲ ساله (۲۰۰۲-۲۰۱۳) و ۱۲ ایستگاه هواشناسی در حوزه آبخیز مهارلو استفاده گردید. بهمنظور پنهانه‌بندی تبخیر و تعرق و بررسی تغییرات مکان آن از روش میان‌یابی عکس مجذور فاصله (IDW) در نرم‌افزار ArcGIS استفاده گردید. در تحقیق حاضر به‌منظور انتخاب مناسب‌ترین روش برآورد تبخیر و تعرق پتانسیل بلانی-کریدل، هارگریوز-سامانی، تورنتوايت از شاخص‌های آماری میانگین انحراف خطأ (MAE) در نرم‌افزار (MBE) (۰/۴۲، ۰/۹۳ و ۰/۶۴)، میانگین (۰/۴۲، ۰/۶۴ و ۰/۴۸) و ریشه دوم میانگین مربعتات باقیمانده (RMSE) (۰/۴۹، ۰/۴۸ و ۰/۲۸) استفاده شد. نتایج نشان داد که تغییرات زمانی و مکانی تبخیر و تعرق پتانسیل درروش بلانی-کریدل بیان گر بیش ترین میزان تبخیر و تعرق در ایستگاه دوینه در سال ۲۰۰۹ با مقدار ۱۲۷/۵ میلی‌متر در سال و کم‌ترین مقدار آن مربوط به ایستگاه کافتر در سال ۲۰۰۶ با مقدار ۸۵/۱ میلی‌متر در سال می‌باشد. همچنین بر اساس نتایج هارگریوز-سامانی، بیش ترین و کم‌ترین مقدار تبخیر و تعرق به ترتیب مربوط به ایستگاه‌های جهان‌آباد بختگان در سال ۲۰۰۹ با مقدار ۱۵۲/۱ میلی‌متر در سال و ایستگاه کمehr در سال ۲۰۰۳ با مقدار ۹۶/۵ میلی‌متر در سال می‌باشد، درحالی که درروش تورنتوايت بیش ترین میزان تبخیر و تعرق مربوط به ایستگاه دوینه در سال ۲۰۰۹ با مقدار ۱۰۳/۶ میلی‌متر در سال و کم‌ترین مقدار آن مربوط به ایستگاه کمehr در سال ۲۰۱۱ با مقدار ۵۲/۷ میلی‌متر در سال برآورد گردید. ممچنین نتایج ارزیابی روش‌های مختلف برآورد تبخیر و تعرق به معیار MAE و RMSE روش بلانی-کریدل کم‌ترین میزان خطأ (۰/۶۴، ۰/۴۹ و ۰/۴۸) و با توجه به معیارهای MAE و RMSE بوده است، که درمجموع روش بلانی-کریدل بهترین روش تبخیر و تعرق پتانسیل بهدلیل پایین بودن میزان خطأ نسبت به روش‌های هارگریوز-سامانی و تورنتوايت می‌باشد.

**واژه‌های کلیدی:** بلانی-کریدل، تورنتوايت، هارگریوز-سامانی، شاخص میانگین مطلق خطأ (MAE)، شاخص میانگین انحراف خطأ (RMSE)، شاخص ریشه دوم میانگین مربعتات باقیمانده (MBE)

آن در طرح‌های آبیاری، تأسیسات آبی، مطالعات زهکشی و هیدرولوژیکی بسیار حائز اهمیت می‌باشد. به‌طورکلی تبخیر و تعرق پدیده‌ای با تغییرات مکانی است، نه نقطه‌ای و با توجه به تغییرات مکانی، عوامل دخیل در تبخیر اعم از سطح تبخیر شونده و عوامل محیطی مؤثر بر آن می‌باشد به‌طور صحیح مدل‌سازی گردد (۳).

درزمینه ارزیابی تبخیر و تعرق مطالعات زیادی انجام شده است. وفاخواه و همکاران (۲۹) در تحقیقی با عنوان مقایسه روش‌های زمین‌آمار در برآورد تبخیر و تعرق پتانسیل حوزه آبخیز دریاچه نمک، در استان مرکزی به این نتیجه رسیدند که به جز روش میانگین متحرک به صورت خطی که دارای دقت کم و انحراف بالا می‌باشد، بقیه روش‌های کوکینگ معمولی و کوکریجینگ دارای دقت و انحراف یکسان و نزدیک به هم می‌باشند و در رابطه با مناسب‌ترین مدل، واریگرام‌های کروی و نمایی به ترتیب برای تحلیل داده‌های ماهانه و سالانه مناسب بوده است. شاهدی و زارعی (۲۱) در تحقیق با عنوان ارزیابی روش‌های برآورد تبخیر-تعرق پتانسیل در استان مازندران به این نتیجه رسیدند که روش بلانی-کریدل با کم‌ترین میزان خطای استاندارد و بیش ترین

### مقدمه

بقای انسان‌ها وابسته به آب می‌باشد و بشر همواره در جهت فراهم آوردن آن تلاش نموده است ولی انرژی حرارتی موجود در هوا موجب تبخیر آب موجود در هیدرولوگی شود (۱). تبخیر-تعرق یکی از مؤلفه‌های مهم چرخه هیدرولوژی است که تخمین دقیق آن برای مدیریت بهینه منابع آب لازم می‌باشد (۵). یکی از پیش‌نیازهای مدیریت بهینه آب در هر حوزه آبخیزی، تخمین دقیق مؤلفه‌های بیلان آبی آن می‌باشد که تبخیر و تعرق پتانسیل یکی از عوامل تاثیرگذار بر بیلان آب محسوب می‌شود (۲۱). برآورد دقیق تبخیر-تعرق در مطالعاتی از قبیل تغییر اقیم جهانی، تکامل محیطی و کنترل منابع آبی نقش مهمی را ایفا کند (۱۵). تبخیر و تعرق پتانسیل یکی از عوامل مهم سیکل هیدرولوژیکی است که به‌طور متوسط حدود ۶۴ درصد از بارش سالانه زمین در اثر فرآیند تبخیر و تعرق به اتمسفر بر می‌گردد (۱۸). در پهنه ایران مقدار بارش دریافتی به‌طور متوسط ۲۴۰-۲۵۰ میلی‌متر بوده که درمجموع ۴۱۳ میلیارد مترمکعب برآورد می‌شود که ۲۹۶ میلیارد مترمکعب یا ۷۱ درصد آن بالاگصله از طریق تبخیر و تعرق به اتمسفر بازمی‌گردد (۲). همچنین برآورد مقدار دقیق

پنبه و گندم با سیال و داده‌های اندازه‌گیری شده در طول فصل کشت نشان می‌دهد که می‌توان برای کاهش اثرات سیل و مدیریت منابع آب نیز از الگوریتم سیال استفاده نمود. ستان و همکاران (۲۵) در تحقیقی با عنوان ارزیابی تبخیر و تبخیر-تعرق رودخانه کالداروسانی در رومانی پرداختند و نتیجه گرفتند که مقادیر تبخیر و تعرق ( $10/3\text{mm/day}$ ) نسبت به تبخیر (۴/۳  $\text{mm/day}$ )، بیشتر است و حجم آب ازدست رفته توسط تبخیر و تبخیر-تعرق از دریاچه کالداروسانی در سال ۲۰۱۴ در حدود  $2/9 \text{ mil.m}^3$  (تفصیلاً  $1/3$  از حجم دریاچه) می‌باشد. کومار و اویادهای (۱۴) در تحقیقی با عنوان ارزیابی تبخیر و تبخیر-تعرق پتانسیل از سطح دریاچه کالداروسانی در شرایطی که روش پنم - مانینیث و هارگریوز - سامانی در شرایطی که دسترسی به اطلاعات هواشناسی محدود است از کارایی بالای برخوردار است.

بنابراین هدف از این تحقیق بررسی زمانی-مکانی و مقایسه روش‌های مختلف تبخیر و تعرق پتانسیل برمبنای درجه حرارت هوا و تبیه نقشه‌های پهنه‌بندی تبخیر و تعرق به روش‌های بلانی-کریدل، تورنتوایت و هارگریوز-سامانی بهمنظور برآورد تبخیر و تعرق پتانسیل حوزه مهارلو در استان فارس طی ۱۲ سال (۲۰۰۲-۲۰۱۳) از طریق نرمافزار DrinC و همچنین انتخاب مناسب‌ترین روش تبخیر و تعرق پتانسیل با استفاده از معیارهای ارزیابی MAE، RMSE و MBE می‌باشد.

### مواد و روش‌ها منطقه موردمطالعه

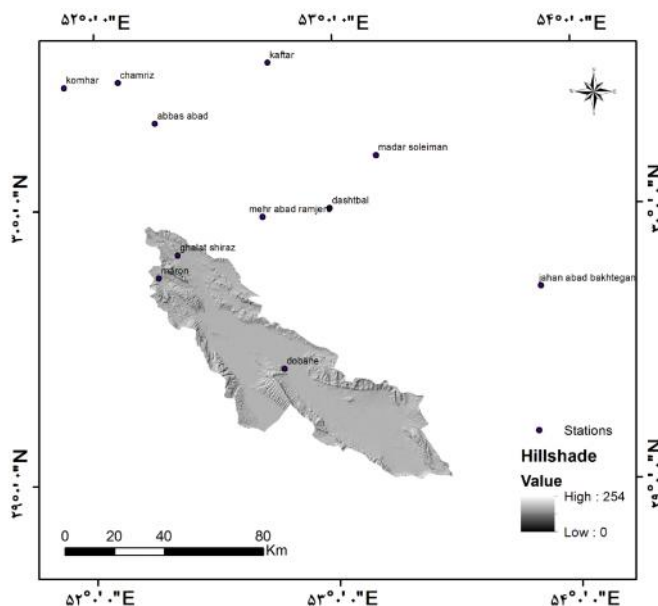
حوزه آبخیز مهارلو با وسعت ۴۲۷۶ کیلومترمربع، با متوسط ارتفاع ۱۵۰۰ متر از سطح دریا در ناحیه جنوب غربی ایران و در میان رشته‌کوه‌های زاگرس واقع شده‌است. به لحاظ جغرافیایی، منطقه موردمطالعه در عرض‌های ۲۹ درجه و ۱ دقیقه تا ۲۹ درجه و ۵۸ دقیقه شمالی و طول‌های ۵۳ درجه و ۱۲ دقیقه تا ۳۰ درجه و ۲۸ دقیقه شرقی قرار گرفته است. در این مطالعه از آمار درجه حرارت طی دوره زمانی مشترک ۱۲ ساله (۲۰۰۲-۲۰۱۳) در ۱۲ ایستگاه هواشناسی موجود در جدول زیر که دارای آمار مناسب و طولانی‌مدت بود استفاده شد. جدول ۱ مشخصات ایستگاه‌های هواشناسی حوزه آبخیز مهارلو و شکل ۱ نقشه سایه روشن منطقه موردمطالعه با پراکنش ایستگاه‌ها را نشان می‌دهد.

میزان همبستگی در مقایسه با روش‌های فائق، پنم و مانیتیت از دقت بیشتری برخوردار بوده و از شرق به غرب استان از میزان تبخیر و تعرق پتانسیل کاسته می‌شود. محمدی و همکاران (۱۶) در تحقیقی با عنوان برآورد تبخیر و تعرق پتانسیل در ایستگاه‌های اصفهان به این نتیجه رسیدند که روش بلانی-کریدل نسبت به سایر روش‌های تورنتوایت و معادله لاری جانسون بسیار نزدیک به تشکیل تبخیر بوده به طوری که در ماههای مختلف از همبستگی خوبی برخوردار است، همچنین نتایج حاصل از پهنه‌بندی میزان تبخیر و تعرق در سطح استان اصفهان نشان داد که از غرب به شرق و از جنوب به شمال بر میزان تبخیر و تعرق افزوده می‌شود. ایزدپناه و کرمی (۱۳) با ارزیابی روش‌های مختلف تبخیر و تعرق پتانسیل در ایستگاه سینوپتیک اهواز به این نتیجه رسیدند که در ایستگاه سینوپتیک اهواز روش جنسن-هیز، بلانی-کریدل، هارگریوز-سامانی و تورنتوایت به ترتیب روش‌های مناسب‌تری هستند، بنابراین در صورت نبود اطلاعات اقلیمی بسیط برای روش فائق-پنم-مانینت می‌توان از روش جنسن-هیز استفاده کرد. نتایج قبیری و بذرافشان (۹) در ارزیابی روش‌های مختلف برآورد تبخیر-تعرق پتانسیل در استان هرمزگان نشان داد که روش هارگریوز با کمترین میزان خطأ و بیشترین میزان همبستگی، مناسب‌ترین روش نسبت به روش‌های روش بلانی-کریدل و تورنتوایت بوده و از دقت بیشتری در برآورد تبخیر و تعرق پتانسیل استان هرمزگان برخوردار می‌باشد. سنتلهاس و همکاران (۲۲) در تحقیقی به کارایی برآورد تبخیر و تعرق به چهار روش فائق-پنم-مانینت، پرسنلی تیلور، هارگریوز-سامانی و تورنتوایت در آنتاریو کانادا پرداختند و نتیجه گرفتند که زمانی که داده‌های مربوط به سرعت باد، کمیود فشار بخار و تشبع خالص موجود باشد فائق - پنم - مانینت با حداقل RMSE معادل  $0/53$  بهترین کارایی را دارد، هنگامی که سرعت باد و کمیود فشار بخار وجود دارد روش پرسنلی تیلور با  $0/4$  RMSE بهترین کارایی و وقتی تنها داده‌های دما موجود باشد روش هارگریوز-سامانی و تورنتوایت اصلاح شده با RMSE معادل  $0/74$  بهترین کارایی را خواهد داشت. استیل و همکاران (۲۴) برای کم کردن اثرات سیل رودخانه دویس در شمال شرقی ایالت داکوتای شرقی آمریکا از الگوریتم سنجش‌ازدور سیال و داده‌های کاربری اراضی و پیمایش زمینی استفاده کردند، اختلاف  $41$  میلی‌متر در ماه تبخیر و تعرق محاسبه شده

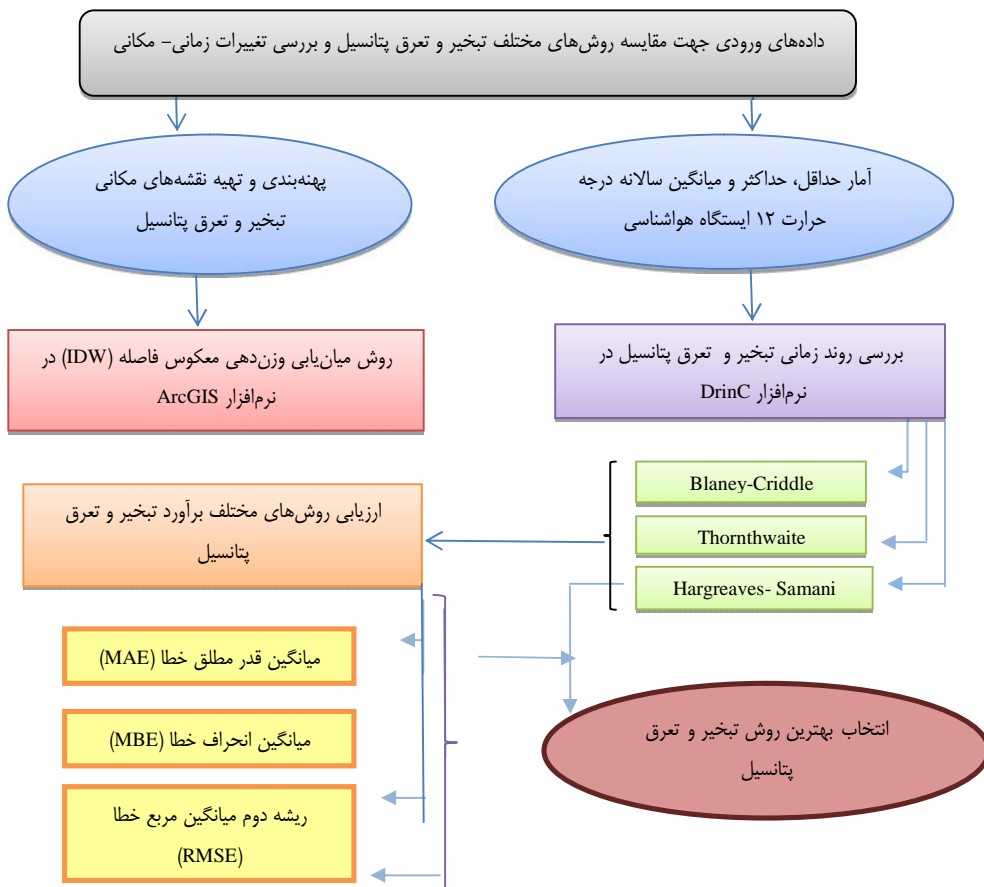
جدول ۱- مشخصات ایستگاه‌های مورد مطالعه در حوزه مهارلو

Table 1. The Characteristics of the case study stations in the Maharlou Watershed

ایستگاه	طول جغرافیایی	عرض جغرافیایی	ارتفاع (متر)
جهان‌آباد بختگان	۵۳°۵۱'۲۳"	۲۹°۴۲'۱۸"	۱۵۷۷
چمریز	۵۳°۰۶'۰۴"	۳۰°۲۸'۰۳"	۱۸۱۰
دشتیال	۵۲°۵۸'۰۴"	۳۰°۰۰'۰۸"	۱۶۷۳
دوینه	۵۲°۴۶'۵۶"	۲۹°۲۵'۱۴"	۱۴۸۹
سده	۵۲°۰۹'۵۱"	۳۰°۴۳'۱۹"	۲۱۹۸
قلات شیراز	۵۲°۲۰'۴۲"	۲۹°۵۰'۱۴"	۱۸۸۱
کافتر	۵۲°۴۳'۵۲"	۳۰°۳۲'۰۲"	۲۳۴۲
کمهر	۵۱°۵۸'۳۳"	۳۰°۲۷'۰۰"	۲۲۵۴
مادر سلیمان	۵۳°۱۰'۴۷"	۳۰°۱۱'۳۱"	۱۸۶۸
عباس‌آباد	۵۲°۱۵'۲۰"	۳۰°۱۹'۰۳"	۱۷۱۳
مهرآباد رامجرد	۵۲°۴۲'۰۲"	۲۹°۵۸'۲۵"	۱۶۰۶
مارون	۵۲°۱۵'۰۴"	۲۹°۴۵'۱۶"	۲۱۳۷



شکل ۱- نقشه رقومی ارتفاعی منطقه مورد مطالعه  
Figure 1. Digital Elevation model map of the study area



شکل ۲- نمودار تبخیر و تعرق پتانسیل در منطقه مورد مطالعه  
Figure 2. The flowchart for potential evapotranspiration in the study area

$N_m$ : ضریب اصلاحی برای عرض‌های مختلف جغرافیایی و سال‌های مختلف.  $T_i$ : متوسط دمای هوای در سال موردنظر و  $\Delta$ : ساختمند حرارتی سالانه است.

$$\text{رابطه (۳)} \quad ET_0 = 0.0023 (T_{\text{mean}} + 17.8) (T_{\text{max}} - T_{\text{min}})^{0.5} Ra$$

که در آن:

$T_{\text{mean}}$ : متوسط درجه حرارت ( $^{\circ}\text{C}$ ).  $T_{\text{max}}$ : حداکثر درجه حرارت ( $^{\circ}\text{C}$ ).  $T_{\text{min}}$ : حدائق درجه حرارت ( $^{\circ}\text{C}$ ) است.

همچنین به منظور پهنگ‌بندی و تهییه نقشه‌های مکانی تبخیر و تعرق پتانسیل از روش میان‌یابی وزن‌دهی معکوس فاصله (IDW)<sup>۴</sup> نسبت به روش‌های کریجینگ و کوکریجینگ به عمل داشتن حدائق (۴) در نرم‌افزار ArcGIS استفاده شد (رابطه ۴). الگوریتم مذکور، یک روش کاملاً ریاضی است و بر فاصله بین نقاط مشاهده شده و نقطه‌ای که باید درون‌یابی شود، پایه‌گذاری شده است. این روش یک متده پیشرفته از تکنیک نزدیکترین همسایه است که اجزا می‌دهد تعدادی نقاط هم‌جوار در برآورد وزن‌های درون‌یابی سایر نقاط شرکت کنند و بدین ترتیب نزدیکترین نقطه، بیشترین وزن و ایستگاه‌های دورتر، کمترین وزن را به دست می‌آورند (۱۹).

### روش تحقیق

در پژوهش حاضر از آمار حدائق، حداکثر و میانگین سالانه درجه حرارت ۱۲ ایستگاه هواشناسی با طول دوره آماری ۱۲ سال (۲۰۰۲-۲۰۱۳) استفاده گردید. برای بررسی روند تبخیر و تعرق پتانسیل در ایستگاه‌های منتخب از روش‌های Blaney-Criddle (۶)، Thornthwaite (۲۸) و Hargreaves-Samani (۱۲) از نرم‌افزار DrinC استفاده گردید (رابطه‌های ۱ تا ۳).

$$\text{رابطه (۱)} \quad ET_0 = a + b [P(0.46T + 8.13)]$$

که در آن:

$a$  و  $b$ : ضرایب اقلیمی است که بستگی به رطوبت نسبی هوای نسبت ساعت واقعی آفتاب به حداکثر ساعت آفتابی و سرعت با در روز دارد.

$T$ : متوسط دمای ماهانه درجه حرارت ( $^{\circ}\text{C}$ ) و  $P$ : ضریب مربوط به طول روز یا درصد سالانه تابش آفتاب در ماه که به صورت روزانه توصیف می‌شود.

$$\text{رابطه (۲)} \quad ET_0 = 16 N_m (10T_i/i)^a$$

که در آن:

التبه باید توجه داشت که این روش بدون توجه به موقعیت و آرایش نقاط، فقط فاصله آن‌ها را در نظر می‌گیرد، یعنی نقاطی که دارای فاصله یکسانی از نقطه برآورد هستند دارای وزن یکسانی می‌باشد (۲۶، ۱۷).

$$\text{رابطه (۴)} \quad D_i^- = D_i^+ / -D_i^-$$

$$\text{رابطه (۵)} \quad \text{MAE} = |Z^*(x_i) - Z(x_i)|/n$$

$$\text{رابطه (۶)} \quad \text{RMSE} = \sqrt{\frac{1}{N} \sum_{i=1}^N (Z^*(x_i) - Z(x_i))^2}$$

که در آن:  $Z(x_i)$  مقدار برآورده شده در نقطه  $x_i$  (جداول ۳، ۲، ۳ و ۴) و  $Z^*(x_i)$  مقدار اندازه‌گیری شده در نقطه  $x_i$  (جداول ۲) میانگین مقادیر تعداد نقاط می‌باشد. در جدول (۲) میانگین مقادیر اندازه‌گیری شده تبخیر و تعرق پتانسیل به روش بلانی-کریدل نشان داده شده است.

که در آن:  $D_i^-$  وزن نقطه‌ای آم،  $D_i^+$  فاصله نقطه آم تا نقطه مجھول و معادل توان وزن دهی می‌باشد.

از زیبایی روش‌های برآورده تبخیر و تعرق پتانسیل به منظور ارزیابی روش‌های مختلف برآورده تبخیر و تعرق پتانسیل و انتخاب بهترین روش از سه معیار، میانگین قدر مطلق خطا (MAE)، میانگین انحراف خطا (MBE) (۲۷)، میانگین انحراف خطا (RMSE) و همچنین در جدول (۳) میانگین مقادیر اندازه‌گیری شده تبخیر و تعرق پتانسیل به روش هارگریوز-سامانی نشان داده شده است.

جدول ۲- میانگین مقادیر اندازه‌گیری شده تبخیر و تعرق در سال‌های مختلف به روش بلانی-کریدل

Table 2. The mean amounts measured of yearly evapotranspiration of Blaney Criddle in Different years

میانگین مقادیر اندازه‌گیری شده تبخیر و تعرق پتانسیل (میلی‌متر در هر سال)	سال
۱۰۷/۳۸	۲۰۰۲
۱۰۹/۱۲	۲۰۰۳
۱۰۴/۵۲	۲۰۰۴
۱۰۸/۵۵	۲۰۰۵
۱۰۲/۲۴	۲۰۰۶
۱۰۶/۹۱	۲۰۰۷
۱۰۸/۷۶	۲۰۰۸
۱۱۱/۹۷	۲۰۰۹
۱۰۹/۴۵	۲۰۱۰
۱۰۶/۳۹	۲۰۱۱
۱۰۹/۱۲	۲۰۱۲
۱۰۵/۵۴	۲۰۱۳

و همچنین در جدول (۳) میانگین مقادیر اندازه‌گیری شده تبخیر و تعرق پتانسیل به روش هارگریوز-سامانی نشان داده شده است.

جدول ۳- میانگین مقادیر اندازه‌گیری شده تبخیر و تعرق در سال‌های مختلف به روش هارگریوز-سامانی

Table 3. The mean amounts measured of yearly evapotranspiration of Hargreaves- Samani in Different years

میانگین مقادیر اندازه‌گیری شده تبخیر و تعرق پتانسیل (میلی‌متر در هر سال)	سال
۱۲۱/۵۷	۲۰۰۲
۱۲۱/۴۶	۲۰۰۳
۱۲۰/۱۲	۲۰۰۴
۱۲۳/۶۶	۲۰۰۵
۱۱۸/۸۸	۲۰۰۶
۱۲۷/۴۸	۲۰۰۷
۱۲۶/۱۱	۲۰۰۸
۱۳۳/۷۸	۲۰۰۹
۱۳۳/۶۹	۲۰۱۰
۱۲۶/۱۴	۲۰۱۱
۱۲۹/۲۷	۲۰۱۲
۱۲۷/۸۰	۲۰۱۳

از طرفی دیگر در جدول (۴) میانگین مقادیر اندازه‌گیری شده تبخیر و تعرق پتانسیل به روش تورنتوایت نشان داده شده است.

جدول ۴- میانگین مقادیر اندازه‌گیری شده تبخیر و تعرق در سال‌های مختلف به روش تورنت وايت

Table 4. The mean amounts measured of yearly evapotranspiration of Thornthwaite in Different years

سال	میانگین مقادیر اندازه‌گیری شده تبخیر و تعرق پتانسیل (میلی‌متر در هرسال)
۲۰۰۲	۶۷/۷۷
۲۰۰۳	۶۷/۸۹
۲۰۰۴	۶۶/۹۳
۲۰۰۵	۶۸/۵۵
۲۰۰۶	۶۶/۹۴
۲۰۰۷	۶۹/۸۰
۲۰۰۸	۶۹/۲۵
۲۰۰۹	۷۲/۴۵
۲۰۱۰	۷۱/۹۵
۲۰۱۱	۶۶/۹۰
۲۰۱۲	۶۸/۵۹
۲۰۱۳	۶۹/۶۶

سال ۱۲ (۲۰۰۲-۲۰۱۳) حوزه آبخیز مهارلو از نرم‌افزار ArcGIS استفاده شد. نتایج تغییرات مکانی برای سال‌های ۲۰۰۷، ۲۰۱۲ و ۲۰۱۳ به روش‌های بلانی- کریدل، تورنتوايت و هارگریوز- سامانی به ترتیب در شکل‌های ۳، ۴ و ۵ ارائه می‌گردد و همچنین نتایج تغییرات زمانی ارزیابی تبخیر و تعرق پتانسیل روش‌های بلانی- کریدل، تورنتوايت و هارگریوز- سامانی به ترتیب در نمودارهای ۱، ۲ و ۳ ارائه و ارزیابی روش‌های مختلف تبخیر و تعرق پتانسیل (بلانی- کریدل، تورنتوايت و هارگریوز- سامانی) با استفاده از MBE و RMSE در نمودار ۴ برآورد شد. نتایج ارزیابی زمانی تبخیر و تعرق پتانسیل به روش بلانی- کریدل در ایستگاه‌های هواشناسی مورد مطالعه در شکل ۲ ارائه شده است.

هراندازه دو معیار MBE و MAE به صفر نزدیک‌تر باشد، نشان‌دهنده صحت خوب روش‌های ارزیابی تبخیر و تعرق بوده و در آن هیچ‌گونه انحرافی وجود ندارد و هرقدر مقدار این دو معیار و همچنین ریشه دوم میانگین مربعات خطای (RMSE) کمتر باشد صحت روش با روش‌های مذکور بیشتر است (۱۷). در این پژوهش از نرم‌افزارهای Excel و ArcGIS به منظور ارزیابی استفاده گردید.

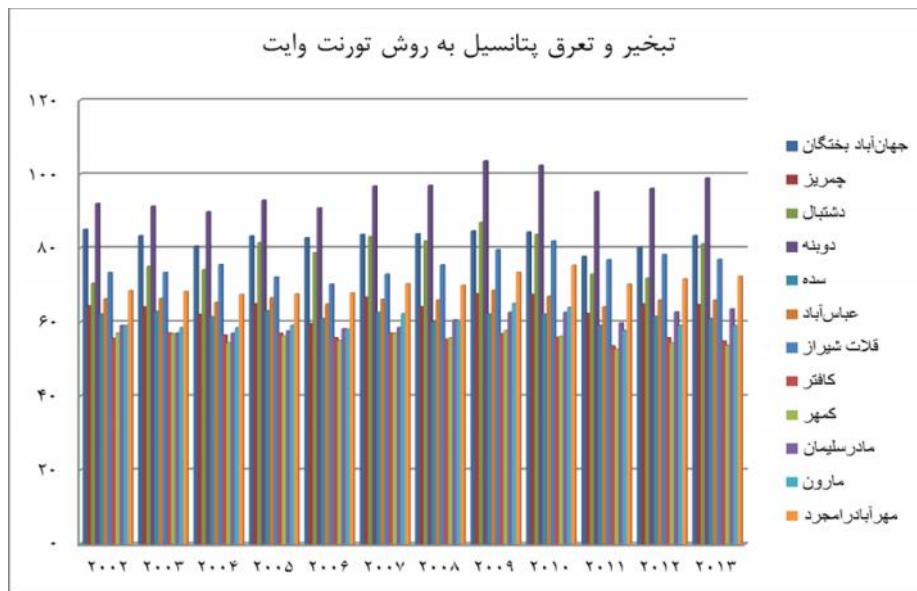
#### نتایج و بحث

در این پژوهش، تبخیر و تعرق پتانسیل توسط آمار حداقل، حداکثر و میانگین درجه حرارت سالانه ۱۲ ایستگاه هواشناسی با استفاده از نرم‌افزار DrinC و به سه روش بلانی- کریدل، تورنتوايت و هارگریوز- سامانی بررسی و برای تهییه نقشه‌های تبخیر و تعرق پتانسیل طی دوره آماری



شکل ۲- نتایج ارزیابی زمانی تبخیر و تعرق پتانسیل (میلی‌متر در سال) به روش بلانی- کریدل در منطقه موردمطالعه  
Figure 2. The results of the temporal estimation of potential evapotranspiration (mm/y) based on Blaney Criddle method in the study area

همچنین نتایج ارزیابی زمانی تبخیر و تعرق پتانسیل به روش ۳ ارائه شده است.  
تورنت‌وایت در ایستگاه‌های هواشناسی مورد مطالعه در شکل



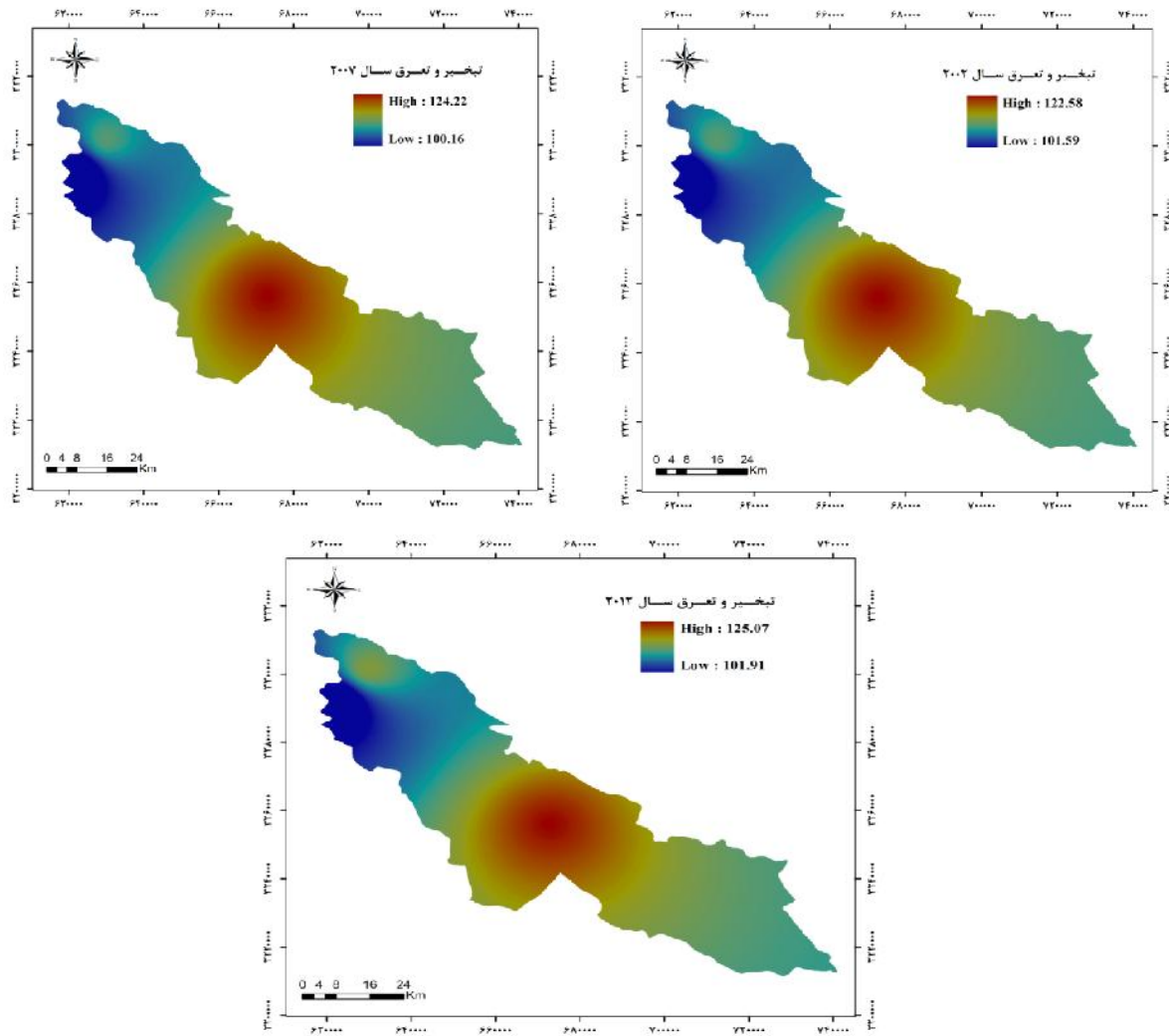
شکل ۳- نتایج ارزیابی زمانی تبخیر و تعرق پتانسیل (میلی‌متر در سال) به روش تورنت وایت در منطقه مورد مطالعه  
Figure 3. The results of the temporal estimation of potential evapotranspiration (mm/y) based on Thornthwaite method in the study area

و درنهایت نتایج ارزیابی زمانی تبخیر و تعرق پتانسیل به روش هارگریوز-سامانی در ایستگاه‌های هواشناسی مورد مطالعه در شکل ۴ ارائه شده است.



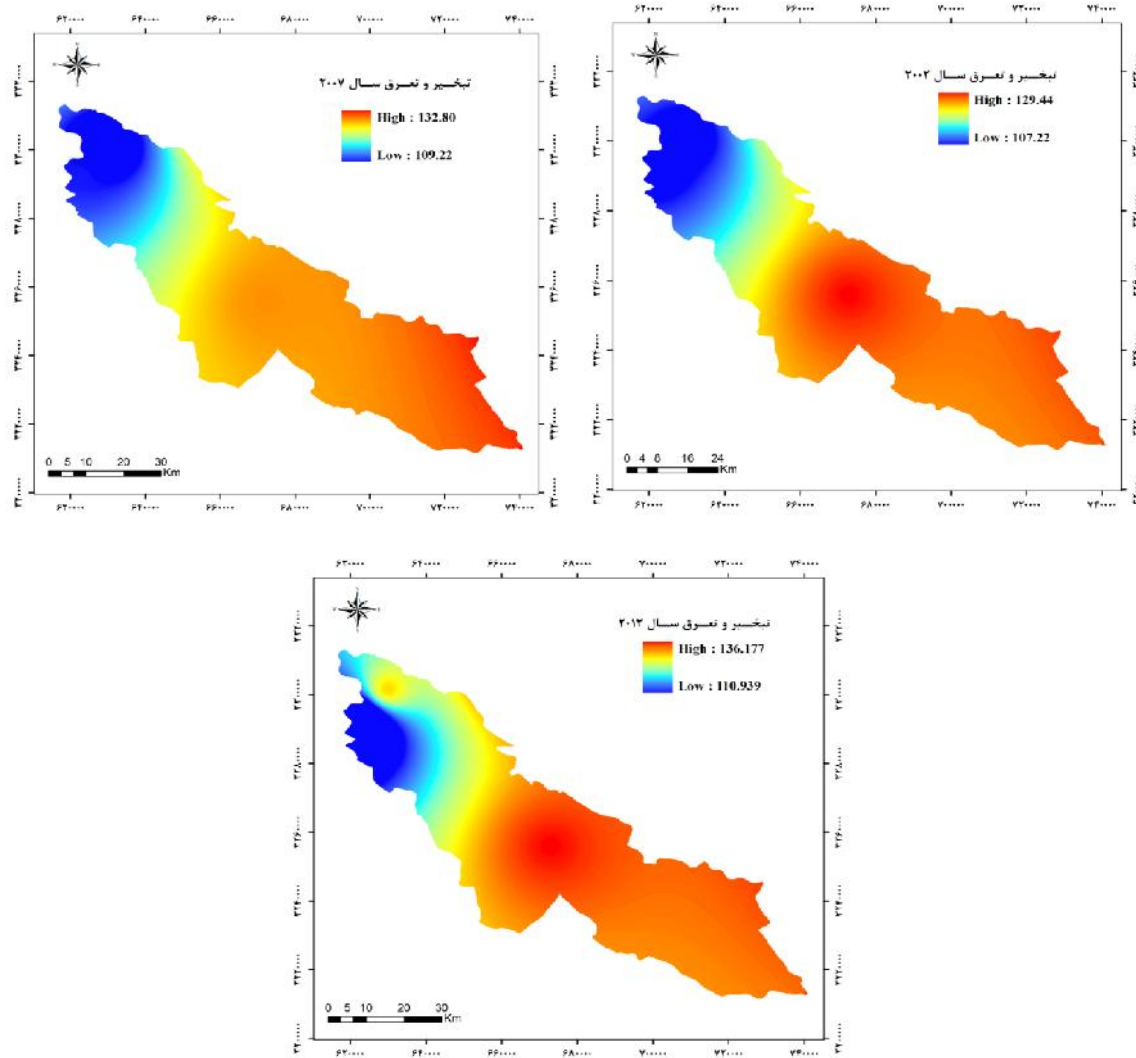
شکل ۴- نتایج ارزیابی زمانی تبخیر و تعرق پتانسیل (میلی‌متر در سال) به روش هارگریوز- سامانی در منطقه مورد مطالعه  
Figure 4. The results of the temporal estimation of potential evapotranspiration (mm/y) based on Hargreaves- Samani method in the study area

نتایج پهنه‌بندی تبخیر و تعرق پتانسیل در سال‌های ۲۰۰۷ و ۲۰۱۲ به روش بلانی-کریدل در شکل ۵ ارائه شده است.



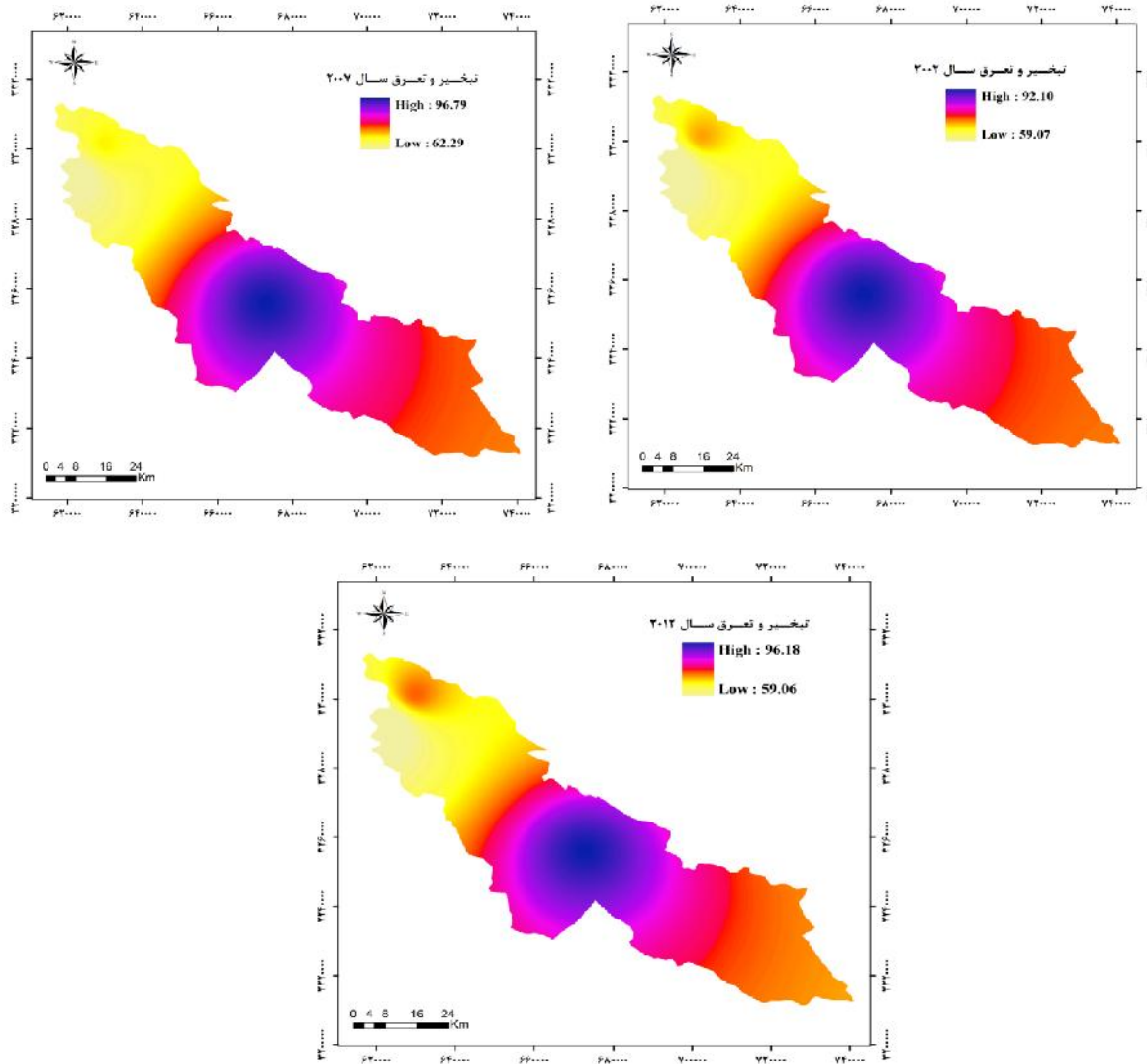
شکل ۵- ارزیابی مکانی تبخیر - تعرق سالانه بلانی - کریدل در سال‌های مختلف  
Figure 5. Evaluating of spatial yearly evapotranspiration of Blaney-Criddle in different years

از طرفی دیگر نتایج پهنه‌بندی تبخیر و تعرق پتانسیل در سال‌های ۲۰۰۲، ۲۰۰۷ و ۲۰۱۲ به روش هارگریوز-سامانی



شکل ۶- ارزیابی مکانی تبخیر - تعرق سالانه هارگریوز- سامانی در سال‌های مختلف  
Figure 6. Evaluating of spatial yearly evapotranspiration of Hargreaves  
in different years

و همچنین نتایج پهنه‌بندی تبخیر و تعرق پتانسیل در سال‌های ۲۰۰۲، ۲۰۰۷ و ۲۰۱۲ به روش تورنتوایت در شکل ۷ ارائه شده است.

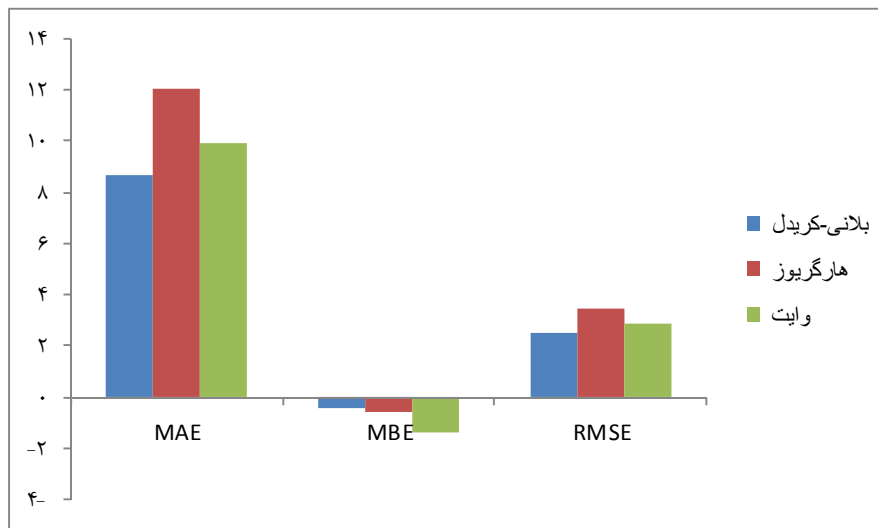


شکل ۷- ارزیابی مکانی تبخیر - تعرق سالانه تورنتوایت در سال‌های مختلف  
Figure 7. Evaluating of spatial yearly evapotranspiration of Thornthwaite  
in different years

شمال غرب تبخیر و تعرق کم و در قسمت‌های مرکزی تبخیر و تعرق زیاد و در قسمت‌های جنوبی تبخیر و تعرق متوسط است.

همچنین نتایج ارزیابی صحت روش‌های مختلف تبخیر- تعرق پتانسیل بلانی- کریدل، هارگریوز- سامانی و تورنتوایت با استفاده از معیارهای RMSE و MAE در شکل ۸ ارائه شده است.

نتایج بررسی‌های زمانی و مکانی تبخیر و تعرق پتانسیل نشان داد، که در روش بلانی- کریدل که در قسمت‌های شمال غربی (مارون، قلات شیراز) تبخیر و تعرق پتانسیل کم و در مرکز (دوبنه و جهان‌آباد بختگان) نسبتاً زیاد و در قسمت‌های جنوبی تبخیر و تعرق نسبتاً زیاد است، همچنین در روش هارگریوز- سامانی در نواحی شمالی و شمال غربی تبخیر و تعرق کم و در نواحی مرکزی و جنوبی تبخیر و تعرق پتانسیل زیاد می‌باشد. در روش تورنتوایت در قسمت‌های شمال و



شکل ۸- نتایج ارزیابی روش‌های تبخیر و تعرق پتانسیل در منطقه موردمطالعه  
Figure 8. The results of estimation methods of potential evapotranspiration in the case study

پتانسیل هم بیشتر است. به طور کلی در قسمت‌های مرکز و جنوبی حوزه تبخیر و تعرق سالیانه به علت افزایش درجه حرارت بیشتر است و در قسمت‌های شمالی حوزه به علت کاهش درجه حرارت تبخیر و تعرق پتانسیل هم کمتر است، که با نتایج تحقیقاتی همچون سالاریان و همکاران (۲۰)، در تحقیق مناسب‌ترین روش برآورد تبخیر و تعرق پتانسیل در ماه‌های گرم و سرد سال در اصفهان را ارزیابی کردند و نتیجه گرفتند در ماه‌های سرد سال معادلات بلانی-کریدل و هارگریوز-سامانی به دلیل ضریب تعیین تعديل یافته ( $R^2$ ) و خطای RMSE کمتر و برای ماه‌های گرم سال با توجه به پایین بودن نسبت ضریب تعیین تعديل یافته ( $R^2 / RMSE$ ) تنها روش بلانی کریدل پیشنهاد می‌شود، در مطالعه‌ای دیگر قلی‌زاده الپاوت و امینی نیا (۱۰) به منظور بررسی تغییرات زمانی تبخیر-تعرق پتانسیل در تبریز نتیجه گرفتند که به دلیل اختصاص بالاترین ضریب همبستگی با داده‌های ثبت شده تبخیر بهترین روش برای محدوده موردمطالعه (تبریز)، روش بلانی-کریدل تشخیص داده شد. شاهدی و زارع (۲۱) جهت ارزیابی روش‌های تبخیر و تعرق پتانسیل در استان مازندران به این نتیجه رسیدند که روش بلانی کریدل با کمترین میزان خطای استاندارد و بیشترین میزان همبستگی با روش فائو-پنم- مانند نتیجه نسبت به روش‌های تورنت وایت، پنم و هارگریوز از دقت بیشتری در برآورد تبخیر و تعرق پتانسیل استان مازندران برخوردار است. ایزدپناه و کرمی (۲۳)، در تحقیق ارزیابی روش‌های تبخیر و تعرق پتانسیل با استفاده از ضریب تعیین تعديل شده و خطای استاندارد ایستگاه اهواز نتیجه گرفتند که روش‌های بلانی-کریدل، هارگریوز و تورنت‌وایت به ترتیب مناسب‌ترین روش‌ها می‌باشند، همچین قبری و بذرافشان (۹) برای ارزیابی روش‌های برآورد تبخیر و تعرق پتانسیل در استان هرمزگان نتیجه گرفتند که روش هارگریوز با کمترین میزان خطای و بیشترین میزان همبستگی

نتایج نشان می‌دهد که با توجه به معیار MAE روش بلانی-کریدل کمترین میزان خطای (۸/۶۴) و بیشترین میزان خطای روش هارگریوز (۱۲/۰۶) و با توجه به معیار MBE کمترین میزان خطای مربوط به روش تورنت‌وایت (-۱/۳۶) و بیشترین میزان خطای روش بلانی-کریدل (-۰/۴۲) و همچنین با توجه به معیار RMSE کمترین میزان خطای روش بلانی-کریدل (۲/۴۹) و بیشترین میزان خطای روش هارگریوز (۳/۴۸) می‌باشد.

تبخیر و تعرق پتانسیل به عنوان یکی از مهم‌ترین پارامترهای هیدرولوژیکی از دیرباز مورد توجه محققین قرار گرفته و نتایج تحلیل فرآیند این پارامتر در مدیریت منابع آب نقش اساسی دارد (۷). در تحقیق حاضر به طور کلی نتایج حاصل از تغییرات زمانی و مکانی شاخص مذکور نشان داد که در روش بلانی-کریدل بیشترین مقدار تبخیر و تعرق پتانسیل مربوط به سال ۲۰۰۹ در ایستگاه دوبنیه (۱۲۷/۵) میلی‌متر در سال و کمترین میزان تبخیر و تعرق در سال ۲۰۰۶ در ایستگاه کافتر (۸۵/۱) میلی‌متر در سال می‌باشد، در روش تورنت‌وایت بیشترین میزان تبخیر و تعرق پتانسیل در سال ۲۰۰۹ در ایستگاه دوبنیه (۱۰۳/۶) میلی‌متر در سال و کمترین میزان آن در ایستگاه کمهر در سال ۲۰۱۱ (۵۲/۷) میلی‌متر در سال بوده است و در نهایت روش هارگریوز- سامانی بیشترین مقدار تبخیر و تعرق پتانسیل در سال ۲۰۰۹ در ایستگاه جهان‌آباد بختگان (۱۵۲/۱) میلی‌متر در سال و کمترین میزان تبخیر و تعرق در سال ۲۰۰۳ در ایستگاه کمهر (۹۶/۵) میلی‌متر در سال می‌باشد. از طرفی دیگر نتایج ارزیابی دقت روش‌های مختلف تبخیر و تعرق پتانسیل نشان داد که روش بلانی-کریدل با توجه به معیار MAE (۸/۶۴) و MBE (۲/۴۹) از دقت بالایی برخوردار است و با توجه به معیار RMSE بیشترین دقت را روش تورنت‌وایت (-۱/۳۶) دارد. هرچه معیارهای مذکور کمتر باشند دقت روش تبخیر و تعرق

خوبی با روش اندازه‌گیری تشتک دارد، محمدی و همکاران (۱۶)، در برآورد تبخیر و تعرق پتانسیل در ایستگاه‌های اصفهان به این نتیجه رسیدند که روش بلانی کریدل نسبت به سایر روش‌ها، بسیار نزدیک به تشت تبخیر بوده به طوری که در ماههای مختلف از همبستگی خوبی برخوردار است که با نتایج تشت تبخیر مطابقت دارد.

مناسب‌ترین روش نسبت به دو روش بلانی کریدل و تورنت‌وایت می‌باشد و از دقت بیشتری برآورد تبخیر و تعرق پتانسیل برخوردار است و در تحقیق فرهودی و شمسی‌پور (۸) در برآورد تبخیر و تعرق پتانسیل منطقه سیستان و بلوچستان جنوبی به این نتیجه رسیدند که روش تورنت وايت نتایج صحیحی را ارائه نمی‌دهد اما روش بلانی کریدل همبستگی

## منابع

1. Afzali, A., M. Mahdavi and M. Zare chahoki. 2010. The effectiveness of the Thornthwaite method compared to class A boat on the southern coast of Iran, Journal of Watershed Management Research, 1(2): 114-109 (In Persian).
2. Alizadeh, A., M. Mahdavi, M. Inanlo and M.A. Bazari. 2001. Study of accuracy and performance Calculated of potential evapotranspiration based on Hargreaves and Pan Evaporation in synoptic stations khorasan province, Nivar journal: 51-70 (In Persian).
3. Allen, R.G., W.G.M. Bastiaanssen, J.L. Wright, A. Morse, M. Tasumi and R. Trezza. 2002. Evapotranspiration from Satellite Images for Water Management and Hydrologic Balances. Proceedings of the 2002 ICID conference, 1-12 pp., Montreal, Canada.
4. Azimi hosseini, M. and M.R. Behbahani. 2009. Application of GIS in drought zoning (Case study: Lorestan Province). Proceedings of the 2008 Geomatics, 3-5pp., Tehran, Iran (In Persian).
5. Babamiri, O., H. Nozari and S. Maroufi. 2017. Estimation of potential evapotranspiration based on random time series models. Journal of Watershed Management Research, 8(15): 146-137 (In Persian).
6. Blaney, H.F. and W.D. Criddle. 1950. Determining water requirements in irrigated area from climatological irrigation data, US Department of Agriculture, Soil Conservation Service, 121pp.
7. Danesh faraz, R. and H. Razaghpoor. 2014. Assessment of Climate Change Effects on Potential Evapotranspiration in West Azarbaijan Province. Geographic Space, 14(46): 199-211 (In Persian).
8. Farhodi, R.A. and A.A. Shamsipour. 2000. Estimating of potential evapotranspiration in southern Balochistan. Physical Geography Research Quarterly, 29: 105-114 (In Persian).
9. Ghanbari, E. and O. Bazrafshan. 2015. Evaluating of methods estimation potential evapotranspiration in Hormozgan province. Proceedings of the 1<sup>th</sup> International and 3<sup>th</sup> National Conference of Engineering and Agriculcuture Management, Environment and stable Natural resources, 1-10., Hamedan, Iran (In Persian).
10. Gholizadeh alpavet, H. and K. Amininia. 2015. Investigating the temporal changes of potential evapotranspiration in Tabriz. Geographic Space, 15(49): 19-35 (In Persian).
11. Ghorbani, M., S. Shokri and S. Bromand nasab. 2016. Investigation Performance of Neural Networks of Estimation of Reference Evapotranspiration (Case Study: Synoptic Station Ahvaz). Journal of Wetland Ecobiology, 8(28): 23-34 (In Persian).
12. Hargreaves, G.H. and Z. Samani. 1985. Refrence crop evapotranspiration from tempraturer. Applied Engineering in Agriculture, 1(2): 96-99.
13. Izadpanah, Z. and O. Karami. 2011. Evaluating of Different Methods of Evapotranspiration at Ahwaz Synoptic Station. Proceedings of the 4<sup>th</sup> National Conference of Irrigation and Drainage Network Management (IDNC), 669-678 pp., Ahvaz, Iran (In Persian).
14. Kumar Rai, R., V. Singh and A. Upadhyay. 2017. Estimation of Lake Evaporation and Potential Evapotranspiration, In: Planning and Evaluation of Irrigation Projects, 231-241 pp., Elsevier.
15. Liu, S., J. Bai, Z. Jia, L. Jia, H. Zhou and L. Lu. 2010. Estimation of evapotranspiration in the Mu Us Sandland of China. Hydrol. Earth System Science, (14): 573-584.
16. Mohammadi, H., A. Hanafi and M. Soltani. 2010. Estimate of potential evapotranspiration in stations of Isfahan province. Journal of Geographic landscape, 5(12): 153-167 (In Persian).
17. Mahdian, M.H. 2006. Application of geo statistics in Soil Sciences. Proceedings of the 1th Conference of Soil Environment and Sustainable Development. Tehran, Iran: 1-6 (In Persian).
18. Nikam, B.R., P. Kumar, V. Garg, P.K. Thakur, S.P. Aggarwal. 2014. Comparative Evaluation of Different Potential Evapotranspiration Estimation Approaches. International Journal of Research in Engineering and Technology, 2321-7308.
19. Ole, E.T. and S. Wolfgang. 2002. Applications of spatial interpolation of climatological and Meteorological elements by the use of geographical information COST: 1-45 pp.
20. Salarian, M., M. Najafi, K. Davari, S. Eslamian and M. Heidari. 2014. Estimating the most suitable of potential evapotranspiration in conditions of meteorology deficiency data in warm and cold months (Case study: Isfahan). Iranian Journal of Irrigation & Drainage, 1(8): 62-73 (In Persian).

21. Shahedi, K. and M. Zarei. 2011. Estimation of methods of potential evapotranspiration in Mazandaran province. *Journal of Irrigation & Water Engineering*, 1(3): 12-21 (In Persian).
22. Sentelhas Paulo, C., J. Terry and E.S. Gillespie. 2010. Evaluation of FAO Penman Monteith and alternative methods for estimating reference evapotranspiration with missing data in Southern Ontario. *Agricultural Water Management*, 97: 635-644.
23. Sentelhas, P., T. Gillespie and E.A. Santos. 2010. Evaluation of FAO Penman-Monteith and alternative methods for estimating reference evapotranspiration with missing data in Southern Ontario, Canada. *Agricultural Water Management*, 97: 635-644.
24. Steele, D., B. Thoreson, D. Hopkins, B. Clark, S. Tuscherer and R. Gautam. 2014. Spatial mapping of evapotranspiration over Devils Lake basin with SEBAL: application to flood mitigation via irrigation of agricultural crops. *Irrigation Science*, 33(1): 15-29 pp. DOI: 10.1007/s00271-014-0445-1.
25. Stan, F.I., G. Neculau, L. Zaharia, G.I. Toroimac and S. Mihalache. 2016. Study on the Evaporation and Evapotranspiration Measured on the Coldruani Lake (Romania), *Environmental Sciences*, 32: 289-281.
26. Taghizadeh mehjerdi, R.A., M. Zareian JAhromi, S. Mahmoodi, A. Heidari and F. Sarmadian. 2008. Investigation of spatial interpolation methods for determining the qualitative spatial changes of groundwater in Rafsanjan plain. *Iranian Journal of Watershed Management Science and Engineering*, 2(5): 63-70 (In Persian).
27. Trajkovic, S. and S. Kolakovic. 2009. Evaluation of reference evapotranspiration equations under humid conditions. *Water Resource Management*. 23: 3057-3067.
28. Thornthwaite, C.W. 1948. An approach toward a rational classification of climate. *Geog. Review* 38.
29. Vafakhah, M., M. Mohseni Sarori and M. Onagh. 2009. Comparison Methods of geo Statistics Estimation Potential Evapotranspiration (Case Study: salt Lake Basin). *Whatershed Management Research*, 83: 30-39 (In Persian).

## Comparing Different Methods of Potential Evapotranspiration and Studying Temporal and Spatial Changes in the Mahalou Watershed using GIS

Mahdis Amiri<sup>1</sup> and Hamid Reza Pourghasemi<sup>2</sup>

1- M.Sc. Student, Desert Management, College of Agriculture, Shiraz University, Shiraz

2- Professor Assistant, Department of Natural Resources and Environmental Engineering, College of Agriculture, Shiraz University, Shiraz (Crossponding author: hr.pourghasemi@shirazu.ac.ir)

Received: July 23, 2017

Accepted: November 26, 2017

### Abstract

Evaluating potential evapotranspiration plays an important role in planning, designing, and managing water resources, especially in arid and semi arid zones. The aim of the present research is considering spatio-temporal changes of different potential evapotranspiration methods such as Thornthwaite, Hargreaves, and Blaney-Criddle in the Mahalou Watershed, Fars province. So, yearly statistics of temperature in a course of 12 years (2002-2013) with 12 meteorology stations in Mahalou Watershed have been used. In order to zonation map of evapotranspiration and studing spatial changes, Inverse Distance Weighting (IDW) method has been used in GIS software. To choose the most suitable method for evaluating potential evapotranspiration using Blaney- Criddle, Hargreaves- Samani, and Thornthwaite in this present research, statistics indicators including Mean Absolute Error (MAE) (8.64, 12.06, 9.93), Mean Bias Error (MBE) (-0.42, -0.56, -1.36), and Root-Mean-Square error (RMSE) (2.49, 2.86, 3.48) is used. Results showed that spatio-temporal changes of potential evapotranspiration in Blaney- Criddle method indicates the most amount of evapotranspiration in Dobene Station in 2009 with the amount of 127.5 mm. Whereas the least that amount of attached is in Kaftar Station in 2006 with the amount of 85.1 mm. Also based on Hargreaves results, the most and least amount of evapotranspiration is in Jahan abad bakhtegan Stations in 2009 with the amount of 152.1 mm and Komhar station in 2003 with the amount of 96.5 mm, respectively. In contrast, based on Thornthwaite method, the most amount of evapotranspiration is included in Dobene Sstation in 2009 with the amount of 103.6 mm and the least that amount of attached is in Komhar Station in 2011 with the amount of 52.7 mm. Subsequently, the results of evaluating of different evapotranspiration methods according to RMSE and MAE showed that Blaney- Criddle method the least error amount (2.49, 8.64) and also according to the MAE and RMSE criteria, the most amount of error attached of Hargreaves- Samani method with the amount measured MAE 12.06 and RMSE 3.48. In general, the Blaney-Criddle method is the best potential evapotranspiration method. On the other hand, the low error rate is due to Hargreaves- Samani and Thornthwaite based methods.

**Keywords:** Thornthwaite, Blaney- Criddle, Hargreaves- Samani, Mean Absolute Error (MAE), Mean Bias Error (MBE), Root Mean Square Error (RMSE)